

### 3. Einfache quantenmechanische Systeme

#### 3.1. Der harmonische Oszillator

Siehe Anhang B.

#### 3.2. Das Zwei Körperproblem

Ausführliche Version in Anhang C. Hier folgt eine Kurzversion (nach W. Hunziker).

Wir studieren ein klassisch-mechanisches System, das aus zwei Teilchen im physikalischen Raum  $\mathbb{E}^3$  besteht, die über ein sphärisch-symmetrisches Zweikörperpotential  $V$  miteinander wechselwirken.

Die Hamiltonfunktion ist

$$H = \frac{\vec{p}_1^2}{2m_1} + \frac{\vec{p}_2^2}{2m_2} + V(|x_1 - x_2|), \quad (3.1)$$

$x_j, p_j \in \mathbb{R}^3$ ,  $(p_1, p_2, x_1, x_2) \in \mathbb{R}^{12}$ . Indem man die Bewegung in Schwerpunkts- und Relativbewegung separiert, sieht man, dass das System

integrabel ist.

Schwerpunkts- und Relativbewegung.

$$X = \frac{1}{M} (m_1 x_1 + m_2 x_2), \quad x = x_1 - x_2 \quad (3.2)$$

mit  $M = m_1 + m_2$ ,  $m := \frac{m_1 m_2}{M}$  (reduzierte Masse,  
konjugierte Impulse)

$$P = p_1 + p_2, \quad p = m \left( \frac{p_1}{m_1} - \frac{p_2}{m_2} \right) \quad (3.3)$$

Man hat in der klassischen Mechanik gelernt,  
dass die Transformation

$$(p_1, p_2, x_1, x_2) \mapsto (P, p, X, x) \quad (3.4)$$

kanonisch ist.

Schrödinger schafft den Übergang von der  
klassischen zur Quantenmechanik, indem er  
 $p_1$  durch  $\frac{\hbar}{i} \nabla_1$  und  $p_2$  durch  $\frac{\hbar}{i} \nabla_2$  ersetzt,  
und diese als selbstadjungierte Operatoren auf  
 $L^2(\mathbb{R}^6, d^3x_1 d^3x_2)$  interpretiert. Um in Schwerpunkts-

und Relativkoordinaten umzurechnen, können wir das folgende allgemeine Lemma benützen.

Lemma. Es sei

$$\varphi: (p_1, \dots, p_f, x^1, \dots, x^f) \mapsto (\hat{P}_1, \dots, \hat{P}_f, \hat{x}^1, \dots, \hat{x}^f)$$

eine lineare, kanonische (symplektische) Transformation von  $\mathbb{R}^{2f}$ . Deutet man  $(p_1, \dots, p_f, x^1, \dots, x^f)$  als Operatoren

$$\hat{p}_j = \frac{\hbar}{i} \frac{\partial}{\partial x^j}, \quad \hat{x}^j = \text{Mult. mit } x^j, \quad (3.5)$$

$j = 1, \dots, f$ , so dass

$$[\hat{x}^k, \hat{p}_l] = i\hbar \delta_l^k,$$

dann gilt, dass

$$\varphi(\hat{p}_1, \dots, \hat{p}_f, \hat{x}^1, \dots, \hat{x}^f) = (\hat{P}_1, \dots, \hat{P}_f, \hat{\hat{x}}^1, \dots, \hat{\hat{x}}^f),$$

wie

$$\hat{P}_j = \frac{\hbar}{i} \frac{\partial}{\partial \hat{x}^j}, \quad j = 1, \dots, f, \quad (3.6)$$

$$[\hat{x}^k, \hat{P}_l] = i\hbar \delta_l^k.$$

Beweis: Übungen.

In Schwerpunkts- und Relativkoordinaten lautet die Hamiltonfunktion (3.1)

$$H = \frac{p^2}{2M} + \frac{p^2}{2m} + V(|x|), \quad (3.7)$$

wovon mit dem Schrödingerschen Übersetzungs-schlüssel und dem Lemma der Hamiltonoperator

$$H = -\frac{\hbar^2}{2M} \Delta_x + H_{\text{rel}}, \quad (3.8)$$

mit

$$H_{\text{rel}} = -\frac{\hbar^2}{2m} \Delta_x + V(|x|) \quad (3.9)$$

wird. Die Schrödingergleichung,

$$i\hbar \frac{\partial}{\partial t} \psi_t = H \psi_t, \quad \psi_t \in L^2(\mathbb{R}^6), \quad (3.10)$$

Kann man nun durch einen Separationsansatz

$$\psi_t(X, x) = \Psi_t(X) \varphi_t(x) \quad (3.11)$$

lösen. Gelingt dies, so findet man dank der Linearität von (3.10) die allgemeine Lösung von (3.10) durch Superposition von Lösungen der Form (3.11).

Die Wellenfunktionen  $\underline{\psi}_t$  und  $\varphi_t$  erfüllen die Schrödinger-Gleichungen

$$i\hbar \frac{\partial}{\partial t} \underline{\psi}_t = -\frac{\hbar^2}{2M} \Delta_x \underline{\psi}_t \quad (\rightarrow \text{freies Teilchen}), \quad (3.12)$$

resp.

$$i\hbar \frac{\partial}{\partial t} \varphi_t = \left( -\frac{\hbar^2}{2m} \Delta_x + V(|x|) \right) \varphi_t \quad (3.13)$$

Gl. (3.12) beschreibt die freie Bewegung des Schwerpunkts; Gl. (3.13) die Relativbewegung.

Nun versuchen wir, die Schrödinger-Gleichung für die Relativbewegung zu lösen. Das Problem ist rotationsymmetrisch. Klassisch sind daher alle Komponenten des Drehimpulses,  $\vec{L}$ , Erhaltungsgrößen, und  $H, \vec{L}^2, L_z$  sind mit einander in Involution, woraus die Integrität des Problems folgt. Auch quantenmechanisch sind die Komponenten von  $\vec{L}$  Erhaltungsgrößen:

$$\vec{L} = \vec{x} \wedge \vec{p} = \vec{x} \wedge \frac{\hbar}{i} \vec{v} \quad (3.14)$$

Man verifiziert leicht, dass

$$[H, L_j] = 0, \quad j = x, y, z; \quad (3.15)$$

insbesondere vertauschen  $H$ ,  $\vec{L}^2$  und  $L_z$  miteinander, und darauf lässt sich die Lösungstheorie der Schrödinger-Gleichung für die Relativbewegung aufbauen. Mehr dazu werden wir in Kap. 5 und Kap. 6 lernen. In diesem Kapitel benutzen wir zur Lösung von (3.13) Polar-Koordinaten, die der Rotationsymmetrie des Problems angepasst sind. Wir beziehen uns auf Bsp. d, Kap. 1,

$$(1.117): \quad \vec{x} = (r \sin \vartheta \cos \varphi, r \sin \vartheta \sin \varphi, r \cos \vartheta)$$

$$\Delta = \frac{1}{r} \frac{\partial^2}{\partial r^2} r + \frac{1}{r^2} \Lambda, \quad \text{wo}$$

$$\Lambda = \frac{1}{\sin \vartheta} \frac{\partial}{\partial \vartheta} \left( \sin \vartheta \frac{\partial}{\partial \vartheta} \cdot \right) + \frac{1}{\sin^2 \vartheta} \frac{\partial^2}{\partial \varphi^2}. \quad (3.16)$$

$\Lambda$  ist der Laplace-Beltrami Operator auf

$L^2(S^2, d\Omega)$ , wo  $S^2$  die Einheitskugel im  $\mathbb{R}^3$

ist, und  $d\Omega = d\vartheta \sin\vartheta d\varphi$ . Man verifiziert durch Rechnen oder Denken, dass

$$\Lambda = -\frac{1}{\hbar^2} \vec{L}^2, \quad (3.17)$$

und

$$L_z = \frac{\hbar}{i} \frac{\partial}{\partial \varphi}.$$

Nun lautet (3.13) :

$$i\hbar \frac{\partial \varphi_t(r, \vartheta, \varphi)}{\partial t} = \left( -\frac{\hbar^2}{2m} \frac{1}{r} \frac{\partial^2}{\partial r^2} r - \frac{\hbar^2}{2mr^2} \Lambda + V(r) \right) \varphi_t(r, \vartheta, \varphi) \quad (3.18)$$

Diese Gleichung lösen wir folgendermassen:

(1) Wir suchen zunächst stationäre Lösungen,

$$\varphi_t(r, \vartheta, \varphi) = e^{-i(Et)/\hbar} \chi_E(r, \vartheta, \varphi)$$

für die (3.18) auf das Eigenwertproblem

$$\underbrace{\left( -\frac{\hbar^2}{2m} \frac{1}{r} \frac{\partial^2}{\partial r^2} r - \frac{\hbar^2}{2mr^2} \Lambda + V(r) \right)}_{H_{\text{rel}}} \chi_E(r, \vartheta, \varphi) = E \chi_E(r, \vartheta, \varphi), \quad (3.19)$$

$E \in \sigma(H_{\text{rel}})$ , führt. Die Gleichung (3.19)

lösen wir nur durch einen Separationsansatz:

$$\chi_E(r, \vartheta, \varphi) = \frac{1}{r} u(r) Y_\ell(\vartheta, \varphi), \quad (3.20)$$

wo  $\{Y_\ell\}_{\ell=0}^\infty$  ein VONS in  $L^2(S^2, d\Omega)$  sein

möge. Der Operator  $A$  ist nicht nur symmetrisch sondern selbstdualisiert auf  $L^2(S^2, d\Omega)$ , und es bietet sich an, die  $Y_\ell$ 's als Eigenfunktionen von  $A$  zu wählen. Diese Eigenfunktionen heißen Kugelfunktionen und sind aus ED und MMP bekannt. Für unsere Zwecke genügen folgende Betrachtungen.

### Kugelfunktionen.

Für  $\vec{x} \in \mathbb{R}^3$  sei  $\hat{x} := \frac{\vec{x}}{|\vec{x}|} \in S^2$ ,  $|\vec{x}| = r$ .

Die Funktion  $Y_\ell(\hat{x})$  heißt Kugelfunktion zum Index  $\ell$ , falls

$$r^\ell Y_\ell(\hat{x}) =: u_\ell(x) \quad (3.21)$$

ein homogenes, harmonisches Polynom in den Variablen  $x, y, z$  vom Grad  $l$  ist. Aus  $\Delta u_l = 0$  folgt mit (3.16), dass

$$\Lambda Y_l = -l(l+1)Y_l, \quad (3.22)$$

$l = 0, 1, 2, \dots$ ; d.h. die  $Y_l$  sind die gesuchten Eigenfunktionen des Operators  $\Lambda$ . Da  $\Lambda$  symmetrisch ist, folgt, dass

$$\langle Y_l, Y_{l'} \rangle := \int_{S^2} d\Omega \overline{Y_l(\hat{x})} Y_{l'}(\hat{x}) = 0, \quad (3.23)$$

für  $l \neq l'$ .

Lemma. Der Raum der Kugelfunktionen zum Index  $l$ , d.h. der Eigenraum von  $\Lambda$  zum Eigenwert  $-l(l+1)$ ,  $H_l$ , hat die Dimension  $2l+1$ .

Beweis. Es sei  $P_l$  der Raum aller homogenen Polynome in  $x, y, z$  vom Grad  $l$ . Die Dimension von  $P_l$  ist die Zahl der Tripel nicht-negativer ganzer Zahlen mit Quersumme  $l$ . Also:

$$\dim P_l = (l+1) + l + (l-1) + \dots + 1. \quad (3.24)$$

Der Raum  $H_l = \langle r^l Y_l \rangle$  ist der Kern der Abbildung

$$\Delta : P_l \rightarrow P_{l-2};$$

daher

$$\dim H_l \geq \dim P_l - \dim P_{l-2} = 2l+1. \quad (3.25)$$

Die homogenen Polynome

$$a_l r^l Y_l(\hat{x}) + a_{l-2} r^2 (r^{l-2} Y_{l-2}(\hat{x})) + \dots \quad (3.26)$$

$a_l, a_{l-2}, \dots$  in  $\mathbb{C}$ , bilden wegen der Orthogonalitätsrelationen (3.23) einen Unterraum von  $P_l$  der Dimension

(3.24), (3.25)

$$\dim H_l + \dim H_{l-2} + \dots \geq \dim P_l \quad (3.27)$$

Die Summe auf der linken Seite kann nicht grösser als  $\dim P_l$  sein. Daher muss in (3.25) und in (3.27) das Gleichheitszeichen gelten.

Q.E.D.

Jedes homogene Polynom in  $x, y, z$  vom Grad  $l$  muss also die Form (3.26) haben. Somit ist jedes

Polynom in  $x, y, z$  vom Grad  $l$ , restriktiert auf  $S^2$ ,

eine Summe von Kugelfunktionen zu Indices  $\leq l$ .

Diese Polynome liegen dicht in  $L^2(S^2, d\Omega)$ ; (An-

wendung des Satzes von Weierstrass!). Deshalb

bilden die Kugelfunktionen ein vollständiges

System in  $L^2(S^2, d\Omega)$ .

Nun kehren wir zum Separationsansatz (3.20) zurück: Eingesetzt in (3.19) finden wir mit (3.22), dass

$$\begin{aligned} H_{\text{rel}} \chi_E &= \frac{1}{r} \left( -\frac{\hbar^2}{2m} u''(r) + \frac{\hbar^2 l(l+1)}{2m r^2} u(r) \right. \\ &\quad \left. + V(r) u(r) \right) Y_l(\hat{x}) \\ &\stackrel{!}{=} E \frac{1}{r} u(r) Y_l(\hat{x}). \end{aligned} \quad (3.28)$$

Es soll also

$$\left( -\frac{\hbar^2}{2m} \frac{d^2}{dr^2} + U_l(r) \right) u(r) = E u(r) \quad (3.29)$$

gelten, wo

$$U_l(r) = \underbrace{\frac{\hbar^2 l(l+1)}{2m r^2}}_{\text{Zentrifugalbarriere}} + V(r) \quad (3.30)$$

Zentrifugalbarriere

Nun bestimmen wir zunächst die Eigenwerte von  $H_{\text{rel}}$ , d.h. die Energien in  $\mathcal{G}_{\text{pp}}(H_{\text{rel}})$ . Die zugehörigen Eigenvektoren heißen

### Gebundene Zustände

Wir setzen  $\varepsilon := \frac{2m}{\hbar^2} E$ , und  $\Phi(r) := \frac{2m}{\hbar^2} V(r)$ .

Dann wird aus (3.29)

$$-u'' + \frac{\ell(\ell+1)}{r^2} u + \Phi(r)u(r) = \varepsilon u(r), \quad (3.31)$$

mit  $u(r) \in L^2([0, \infty), dr)$ .

Wir nehmen an, dass  $\Phi(r) \rightarrow 0$ , für  $r \rightarrow \infty$ , und  $r^2 \Phi(r) \rightarrow 0$ , für  $r \rightarrow 0$ . Die Gleichung (3.31) ist eine homogene, gewöhnliche Differentialgleichung 2. Ordnung und hat für jedes  $\varepsilon$  einen zweidimensionalen Lösungsraum. Das Verhalten der Lösungen für  $r \rightarrow 0$  und  $r \rightarrow \infty$  bestimmt sich wie folgt:

(a)  $r \rightarrow 0$ . Für  $r \rightarrow 0$  kann (3.31) durch

$$-u'' + \frac{\ell(\ell+1)}{r^2} u = 0$$

ersetzt werden. Die allgemeine Lösung ist:

$$ar^{\ell+1} + br^{-\ell}, \quad a, b \in \mathbb{C}, \quad (3.32)$$

$\ell = 0, 1, 2, \dots$ . Für  $b \neq 0$  ist die Wellenfunktion in (3.20) singulär bei  $r=0$ ,  $\nexists \ell \geq 0$ ; (für  $\ell \geq 1$  wäre sie bei  $r=0$  gar nicht mehr quadrat-integrierbar). Offenbar muss sich also eine Lösung,  $u_0$ , von (3.31) für  $r \rightarrow 0$  wie

$$u_0(\varepsilon, r) \sim r^{\ell+1} \quad (3.33)$$

verhalten, mit  $\ell = 0, 1, 2, \dots$ .

b)  $r \rightarrow \infty$ . Für  $r \rightarrow \infty$  kann (3.31) durch

$$-u'' = \varepsilon u$$

ersetzt werden. Die allgemeine Lösung ist

$$u(r) = \alpha e^{ikr} + b e^{-ikr}, \quad k = \sqrt{\varepsilon}. \quad (3.34)$$

Für  $\varepsilon > 0$  sind diese Funktionen nicht quadrat-integrabel. Deshalb hat (3.31) keine Lösung  $u \in L^2([0, \infty), dr)$ , wenn  $\varepsilon > 0$ . Für  $\varepsilon < 0$  gibt

es jedoch eine bis auf Normierung eindeutige Lösung,  $u_\infty$ , von (3.31) mit

$$u_\infty(\varepsilon, r) \sim e^{-\kappa r}, \quad \kappa = \sqrt{-\varepsilon} > 0. \quad (3.35)$$

6

Eine Lösung von (3.31) mit  $u \in L^2([0, \infty), dr)$

muss sich für  $r \rightarrow 0$  wie  $u_0$  und für  $r \rightarrow \infty$

wie  $u_\infty$  verhalten. Daher muss  $\varepsilon < 0$  sein, und

$u_0(\varepsilon, r) \propto u_\infty(\varepsilon, r)$ , (d.h.  $u_0$  und  $u_\infty$  sind linear abhängig). Man überzeugt sich leicht, dass dies

bedeutet, dass die Wronski Determinante

$$W(\varepsilon) := \begin{vmatrix} u_0(\varepsilon, r) & u'_0(\varepsilon, r) \\ u_\infty(\varepsilon, r) & u'_\infty(\varepsilon, r) \end{vmatrix} = 0 \quad (3.36)$$

6

sein muss. Daraus folgt, dass

$$(u_0(\varepsilon, r), u'_0(\varepsilon, r)) = \alpha (u_\infty(\varepsilon, r), u'_\infty(\varepsilon, r)),$$

für  $r$ , für ein  $\alpha \in \mathbb{C}$ . Die Gleichung (3.36) ist eine Gleichung für die Eigenwerte  $\varepsilon = \varepsilon_n$ ,

$n = 1, 2, \dots$ , von  $H_{\text{rel}}$ .

Mehr Einzelheiten dazu studieren wir in den Übungen.

Lösungen von (3.31) für  $\varepsilon > 0$  (kontinuierliches Energiespektrum von  $H_{\text{rel}}$ ) studieren wir im Kapitel über Potentialstreuung (Kap. 4).

## Wasserstoffatom und wasserstoff-ähnliche Ionen

$$V(r) = -\frac{Ze^2}{r}, \quad \Phi(r) = -\frac{2}{ar}$$

mit  $a = \frac{\hbar^2}{Ze^2 m} = \underline{\text{Bohrradius eines Ions mit}}$

Kernladungszahl } Z. Wir setzen  $\beta = \frac{2}{a}$  und

machen für die Lösung von (3.31) den durch (3.33) und (3.35) motivierten Ansatz

$$u(r) = e^{-\kappa r} \sum_{k=l+1}^{\infty} c_k r^k, \quad \kappa = \sqrt{-\varepsilon}. \quad (3.37)$$

Eingesetzt in (3.31) führt auf die Rekursion

$$c_{k+1} = c_k \frac{\beta - \alpha \kappa k}{\ell(\ell+1) - k(k+1)}. \quad (3.38)$$

Es gibt daher bis auf Normierung höchstens eine Lösung von (3.31) mit der Form (3.37).

Falls die Rekursion (3.38) nicht abbricht, so finden wir, dass

$$c_k \sim \frac{(2\kappa)^k}{k!}, \quad (k \rightarrow \infty).$$

Also

$$u(r) \sim e^{\kappa r} \quad (r \rightarrow \infty),$$

d.h.  $u$  ist nicht quadratintegrabel. Für Eigenfunktionen von  $\hat{H}_{\text{rel.}}$ , d.h. Lösungen von (3.31) in  $L^2([0, \infty), dr)$  muss die Rekursion (3.38) daher abbrechen

$$c_n \neq 0, \quad c_{n+1} = 0, \quad \text{für } n = l+1, l+2, \dots$$

Diese Bedingung ist erfüllt, falls

$$\kappa = \frac{\beta}{dn} = \frac{m Z e^2}{n \hbar^2} \equiv \kappa_n \quad (3.39)$$

ist. Also

$$E = E_n = -\frac{\hbar^2}{2m} \kappa_n^2 = -\frac{m Z^2 e^4}{2 \hbar^2} \cdot \frac{1}{n^2}, \quad (3.40)$$

für  $n = 1, 2, 3, \dots$  (Hauptquantenzahl). Die zuge-

hörrigen Eigenfunktionen sind

$$\psi_{nl}(r) = e^{-\kappa_n r} \sum_{k=l+1}^n c_k r^k, \quad (3.41)$$

mit  $\kappa_n$  wie in (3.39) und  $c_k$  bestimmt aus

$c_{l+1}$ , für  $k > l+1$ , mit Hilfe der Rekursion (3.38).

Für vorgegebene Hauptquantenzahl  $n$  kann  $l$  offenbar über

$$l = 0, 1, 2, \dots, n-1 \quad (3.42)$$

variiert. Die Eigenfunktionen von  $H_{nl}$  zum Eigenwert  $E_n$  wie in (3.40) sind also

$$\psi_{nl}(r, \theta, \varphi) = \frac{1}{r} \psi_{nl}(r) Y_l(\theta, \varphi), \quad (3.43)$$

wo  $Y_l$  eine Kugelfunktion zum Index  $l$  ist, und  $l \leq n-1$ . Für festes  $l$  gibt es gerade  $2l+1$  Kugelfunktionen. Die Entartung von  $E_n$  ist daher durch

$$\sum_{l=0}^{n-1} (2l+1) = n^2 \quad (3.44)$$

gegeben. Nicht entartet ist offensichtlich nur die Grundzustandsenergie  $E_1$  mit zugehöriger

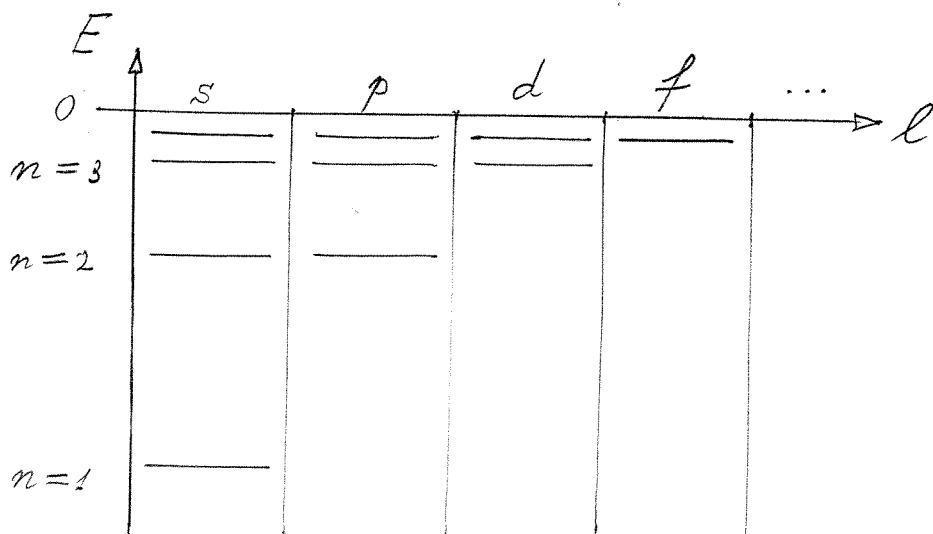
## Grundzustandswellenfunktion

$$\psi_{10}(r, \theta, \varphi) = \frac{1}{\sqrt{\pi a^3}} e^{-(r/a)}, \quad (3.45)$$

wo  $a$  der Bohrradius ist. Im Unterschied zur Bohrschen Theorie hat  $\psi_{10}$  den Drehimpuls 0; (siehe 3.14)!

Die "zufällige" Entartung (3.44) ist speziell für das Coulomb Potential. Für ein "generisches" Potential  $V(r)$  definiert man die Hauptquantenzahl  $n$  als die Zahl der Nullstellen, oder "Knoten", der radialen Wellenfunktion,  $u_{nl}(r)$ , in  $[0, \infty)$ . Der Eigenwert, Enl, zu (3.29) hängt dann i.a. von  $n$  und von  $l$  ab.

Termenschema von  $H$



Die Buchstaben s, p, d, f, + alphabetisch, sind die gebräuchlichen spektroskopischen Bezeichnungen für Zustände mit  $l=0, 1, 2, \dots$ .

Das kontinuierliche Spektrum von  $H_{\text{rel}}$ .

Allgemeine sphärisch-symmetrische Zweikörperprobleme behandeln wir im nächsten Kapitel (Potentialsstreuung). Hier beschränken wir uns auf wasserstoffähnliche Ionen und die Rutherford Streuung.

Dazu folgen wir Anhang C, ab S. 43.